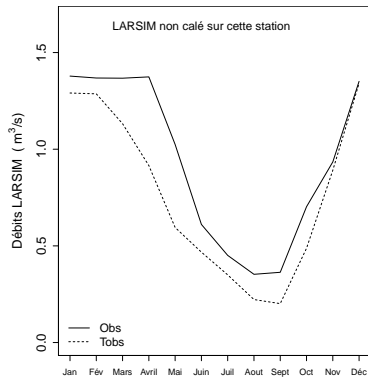
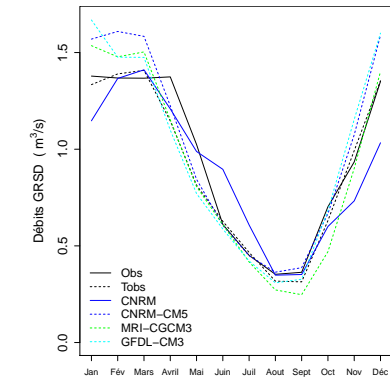


Futur proche (2021-2050)

Hypothèse optimiste (RCP 2.6)

Régimes et indicateurs des débits obtenus en forçant les modèles hydrologiques en futur proche avec le scénario RCP2.6.

	Jan	Fév	Mars	Avril		Mai	Juin	Juil	Aout		Sept	Oct	Nov	Déc	Annuel
Qsim CNRM (m^3/s)	1.1	-	1.4	-	1.4	-	1.2	-	0.9	-	0.6	-	0.7	-	0.9
Qsim IPSL (m^3/s)	-	-	-	-	-	-	-	-	-	-	-	-	-	-	-
ADC Δmin (%)	+15	-	+6	-	+5	-	-4	-	-6	-	-11	-	-9	-	0
ADC Δmed (%)	+18	-	+6	-	+7	-	+1	-	-3	-	-10	-	+8	-	+7
ADC Δmax (%)	+25	-	+16	-	+12	-	+7	-	-3	-	-4	-	+16	-	+11



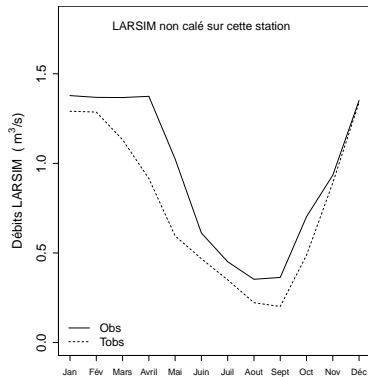
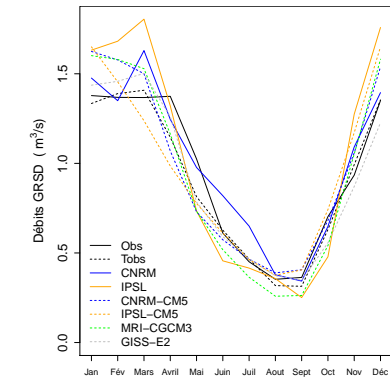
	QJXA2	QJXA10	QJXA100
Qsim CNRM (m^3/s)	5.9	-	10.3
Qsim IPSL (m^3/s)	-	-	-
ADC Qsim min (m^3/s)	6.9	10.8	15.7
ADC Qsim med (m^3/s)	6.9	11.0	15.8
ADC Qsim max (m^3/s)	7.2	11.5	17.4

	Q95	Q99
Qsim CNRM (m^3/s)	2.4	4.4
Qsim IPSL (m^3/s)	-	-
ADC Qsim min (m^3/s)	2.7	5.2
ADC Qsim med (m^3/s)	3.0	5.5
ADC Qsim max (m^3/s)	3.0	5.5

Hypothèse intermédiaire (RCP 4.5)

Régimes et indicateurs des débits obtenus en forçant les modèles hydrologiques en futur proche avec le scénario RCP4.5.

	Jan	Fév	Mars	Avril		Mai	Juin	Juil	Aout		Sept	Oct	Nov	Déc	Annuel
Qsim CNRM (m^3/s)	1.5	-	1.3	-	1.6	-	1.2	-	0.8	-	0.6	-	1.1	-	1.0
Qsim IPSL (m^3/s)	1.6	-	1.7	-	1.8	-	1.3	-	0.5	-	0.4	-	0.5	-	1.0
ADC Δmin (%)	+8	-	+5	-	-12	-	-14	-	-10	-	-22	-	-16	-	-9
ADC Δmed (%)	+21	-	+9	-	+7	-	-3	-	-7	-	0	-	+6	-	+15
ADC Δmax (%)	+24	-	+14	-	+9	-	+10	-	-4	-	0	-	+18	-	+8



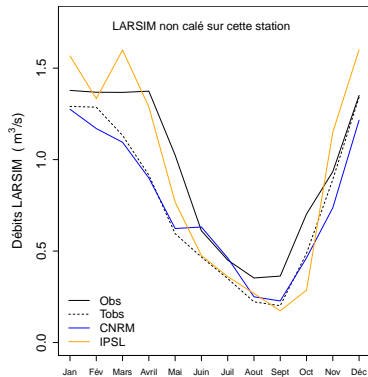
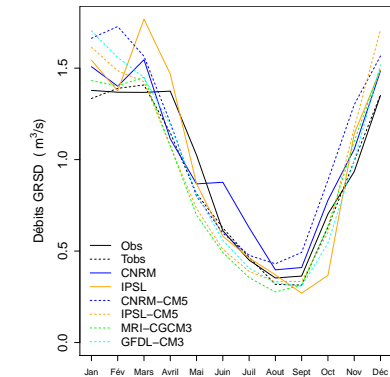
	QJXA2	QJXA10	QJXA100
Qsim CNRM (m^3/s)	6.7	-	11.5
Qsim IPSL (m^3/s)	6.7	-	10.7
ADC Qsim min (m^3/s)	6.2	9.9	14.0
ADC Qsim med (m^3/s)	6.7	10.2	14.9
ADC Qsim max (m^3/s)	6.9	10.7	15.5

	Q95	Q99
Qsim CNRM (m^3/s)	2.9	5.1
Qsim IPSL (m^3/s)	3.1	5.4
ADC Qsim min (m^3/s)	2.7	5.0
ADC Qsim med (m^3/s)	2.9	5.2
ADC Qsim max (m^3/s)	2.9	5.3

Hypothèse pessimiste (RCP8.5)

Régimes et indicateurs des débits obtenus en forçant les modèles hydrologiques en futur proche avec le scénario RCP8.5.

	Jan	Fév	Mars	Avril		Mai	Juin	Juil	Aout		Sept	Oct	Nov	Déc	Annuel
Qsim CNRM (m^3/s)	1.5	1.3	1.4	1.2	1.5	1.1	1.1	0.9	0.9	0.6	0.9	0.6	0.7	1.5	1.2
Qsim IPSL (m^3/s)	1.5	1.6	1.4	1.3	1.8	1.6	1.5	1.3	0.9	0.8	0.6	0.5	1.1	1.2	1.5
ADC Δmin (%)	+7	-	+1	-	+1	-	-6	-	-14	-	-21	-	0	-	+11
ADC Δmed (%)	+23	-	+10	-	+3	-	-1	-	-6	-	-15	-	+14	-	+14
ADC Δmax (%)	+28	-	+24	-	+11	-	+5	-	0	-	-4	-	+31	-	+26



	QJXA2	QJXA10	QJXA100
Qsim CNRM (m^3/s)	7.0	4.4	11.9
Qsim IPSL (m^3/s)	5.8	4.5	9.9
ADC Qsim min (m^3/s)	6.4	-	10.0
ADC Qsim med (m^3/s)	7.2	-	11.1
ADC Qsim max (m^3/s)	7.5	-	12.0

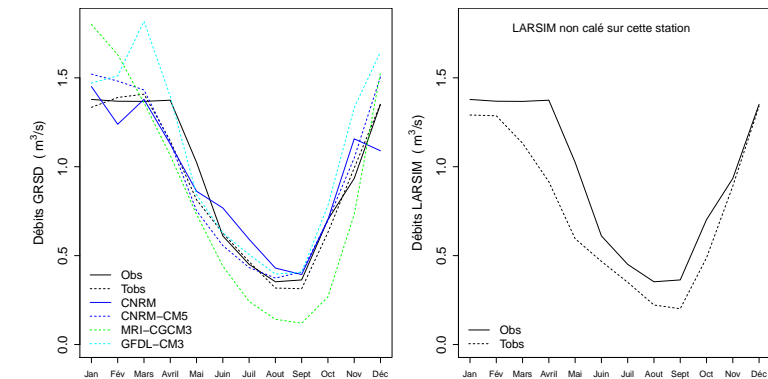
	Q95	Q99
Qsim CNRM (m^3/s)	2.7	2.3
Qsim IPSL (m^3/s)	2.8	2.8
ADC Qsim min (m^3/s)	2.7	-
ADC Qsim med (m^3/s)	2.9	-
ADC Qsim max (m^3/s)	3.2	-

Futur lointain (2071-2100)

Hypothèse optimiste (RCP 2.6)

Régimes et indicateurs des débits obtenus en forçant les modèles hydrologiques en futur lointain avec le scénario RCP2.6.

	Jan	Fév	Mars	Avril	Mai	Juin	Juil	Aout	Sept	Oct	Nov	Déc	Annuel														
Qsim CNRM (m^3/s)	1.5	-	1.2	-	1.4	-	1.1	-	0.9	-	0.8	-	0.6	-	0.4	-	0.4	-	0.7	-	1.2	-	1.1	-	0.9	-	
Qsim IPSL (m^3/s)	-	-	-	-	-	-	-	-	-	-	-	-	-	-	-	-	-	-	-	-	-	-	-	-	-		
ADC	Δmin (%)	+10	-	+7	-	-3	-	-7	-	-10	-	-30	-	-48	-	-55	-	-62	-	-57	-	-26	-	+11	-	-7	-
	Δmed (%)	+14	-	+9	-	+2	-	-1	-	-8	-	-11	-	-7	-	+18	-	+29	-	+11	-	+6	-	+13	-	+5	-
	Δmax (%)	+35	-	+17	-	+29	-	+22	-	+4	-	0	-	+9	-	+25	-	+30	-	+24	-	+34	-	+22	-	+18	-



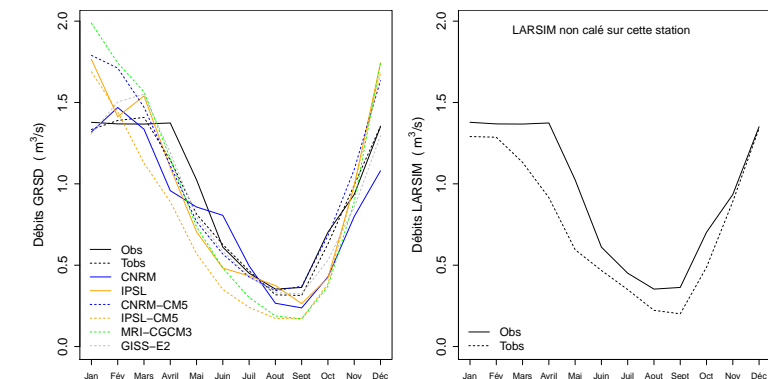
	QJXA2		QJXA10		QJXA100	
Qsim CNRM (m^3/s)	6.0	-	9.2	-	13.3	-
Qsim IPSL (m^3/s)	-	-	-	-	-	-
ADC						
Qsim min (m^3/s)	6.5	-	10.2	-	14.7	-
Qsim med (m^3/s)	7.0	-	11.9	-	17.4	-
Qsim max (m^3/s)	7.7	-	12.0	-	18.0	-

	Q95		Q99	
Qsim CNRM (m^3/s)	2.5	-	4.7	-
Qsim IPSL (m^3/s)	-	-	-	-
ADC				
Qsim min (m^3/s)	2.8	-	5.1	-
Qsim med (m^3/s)	2.8	-	5.5	-
Qsim max (m^3/s)	3.2	-	6.0	-

Hypothèse intermédiaire (RCP 4.5)

Régimes et indicateurs des débits obtenus en forçant les modèles hydrologiques en futur lointain avec le scénario RCP4.5.

		Jan		Fév		Mars		Avril		Mai		Juin		Juil		Août		Sept		Oct		Nov		Déc		Annuel	
Qsim CNRM (m^3/s)		1.3	-	1.5	-	1.3	-	1.0	-	0.9	-	0.8	-	0.5	-	0.3	-	0.2	-	0.4	-	0.8	-	1.1	-	0.8	-
Qsim IPSL (m^3/s)		1.8	-	1.4	-	1.5	-	1.1	-	0.7	-	0.5	-	0.4	-	0.4	-	0.3	-	0.4	-	1.0	-	1.7	-	0.9	-
ADC	Δmin (%)	-2	-	+4	-	-20	-	-22	-	-30	-	-44	-	-48	-	-45	-	-46	-	-41	-	-14	-	-4	-	-10	-
	Δmed (%)	+30	-	+16	-	+7	-	-1	-	-8	-	-16	-	-22	-	-18	-	-21	-	-27	-	-5	-	+22	-	+2	-
	Δmax (%)	+49	-	+25	-	+11	-	+4	-	-2	-	-6	-	-8	-	+8	-	+18	-	+8	-	+10	-	+29	-	+11	-



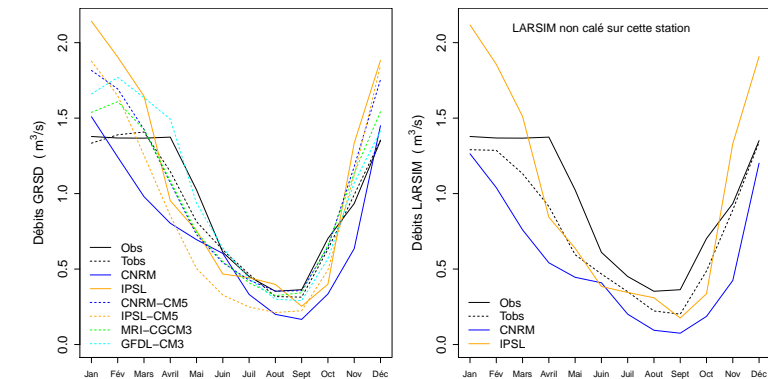
	QJXA2		QJXA10		QJXA100	
Qsim CNRM (m^3/s)	6.3	-	9.7	-	13.8	-
Qsim IPSL (m^3/s)	6.4	-	12.0	-	19.0	-
ADC						
Qsim min (m^3/s)	6.0	-	9.6	-	14.1	-
Qsim med (m^3/s)	6.9	-	10.9	-	15.9	-
Qsim max (m^3/s)	7.5	-	11.6	-	16.6	-

	Q95		Q99	
Qsim CNRM (m^3/s)	2.4	-	4.8	-
Qsim IPSL (m^3/s)	2.7	-	4.7	-
ADC				
Qsim min (m^3/s)	2.6	-	4.9	-
Qsim med (m^3/s)	2.9	-	5.4	-
Qsim max (m^3/s)	3.2	-	5.9	-

Hypothèse pessimiste (RCP8.5)

Régimes et indicateurs des débits obtenus en forçant les modèles hydrologiques en futur lointain avec le scénario RCP8.5.

	Jan		Fév		Mars		Avril		Mai		Juin		Juil		Août		Sept		Oct		Nov		Déc		Annuel		
Qsim CNRM (m^3/s)	1.5	1.3	1.2	1.0	1.0	0.8	0.8	0.5	0.7	0.4	0.6	0.4	0.3	0.2	0.2	0.09	0.2	0.08	0.3	0.2	0.6	0.4	1.5	1.2	0.7	0.6	
Qsim IPSL (m^3/s)	2.1	2.1	1.9	1.9	1.6	1.5	1.0	0.8	0.8	0.6	0.5	0.4	0.4	0.3	0.4	0.3	0.3	0.2	0.4	0.3	1.3	1.3	1.9	1.9	1.0	1.0	
ADC	Δmin (%)	+15	-	+16	-	-11	-	-25	-	-38	-	-48	-	-47	-	-33	-	-29	-	-22	-	+8	-	+4	-	-2	-
	Δmed (%)	+30	-	+20	-	+1	-	-6	-	-10	-	-13	-	-10	-	-2	-	+1	-	-4	-	+14	-	+22	-	+8	-
	Δmax (%)	+41	-	+27	-	+16	-	+30	-	+15	-	+2	-	-6	-	+11	-	+14	-	+4	-	+19	-	+36	-	+13	-



	QJXA2		QJXA10		QJXA100	
Qsim CNRM (m^3/s)	5.7	3.7	9.3	6.2	13.8	9.3
Qsim IPSL (m^3/s)	8.3	5.9	16.9	11.2	27.5	17.9
ADC						
Qsim min (m^3/s)	6.8	-	10.4	-	14.9	-
Qsim med (m^3/s)	7.8	-	12.3	-	18.1	-
Qsim max (m^3/s)	7.9	-	12.9	-	19.1	-

	Q95		Q99	
Qsim CNRM (m^3/s)	2.3	2.0	4.7	3.8
Qsim IPSL (m^3/s)	3.3	3.4	6.5	5.6
ADC				
Qsim min (m^3/s)	2.9	-	5.3	-
Qsim med (m^3/s)	3.1	-	5.9	-
Qsim max (m^3/s)	3.2	-	6.0	-

Contact : guillaume.thirel@irstea.fr

Date d'établissement : 2018-01-23.